

Zeitschrift: Bericht der Eidgenössischen Kommission zur Überwachung der Radioaktivität

Herausgeber: Eidgenössische Kommission zur Überwachung der Radioaktivität

Band: 9 (1965)

Anhang: [Abbildungen = Images]

Nutzungsbedingungen

Die ETH-Bibliothek ist die Anbieterin der digitalisierten Zeitschriften auf E-Periodica. Sie besitzt keine Urheberrechte an den Zeitschriften und ist nicht verantwortlich für deren Inhalte. Die Rechte liegen in der Regel bei den Herausgebern beziehungsweise den externen Rechteinhabern. Das Veröffentlichen von Bildern in Print- und Online-Publikationen sowie auf Social Media-Kanälen oder Webseiten ist nur mit vorheriger Genehmigung der Rechteinhaber erlaubt. [Mehr erfahren](#)

Conditions d'utilisation

L'ETH Library est le fournisseur des revues numérisées. Elle ne détient aucun droit d'auteur sur les revues et n'est pas responsable de leur contenu. En règle générale, les droits sont détenus par les éditeurs ou les détenteurs de droits externes. La reproduction d'images dans des publications imprimées ou en ligne ainsi que sur des canaux de médias sociaux ou des sites web n'est autorisée qu'avec l'accord préalable des détenteurs des droits. [En savoir plus](#)

Terms of use

The ETH Library is the provider of the digitised journals. It does not own any copyrights to the journals and is not responsible for their content. The rights usually lie with the publishers or the external rights holders. Publishing images in print and online publications, as well as on social media channels or websites, is only permitted with the prior consent of the rights holders. [Find out more](#)

Download PDF: 24.08.2025

ETH-Bibliothek Zürich, E-Periodica, <https://www.e-periodica.ch>

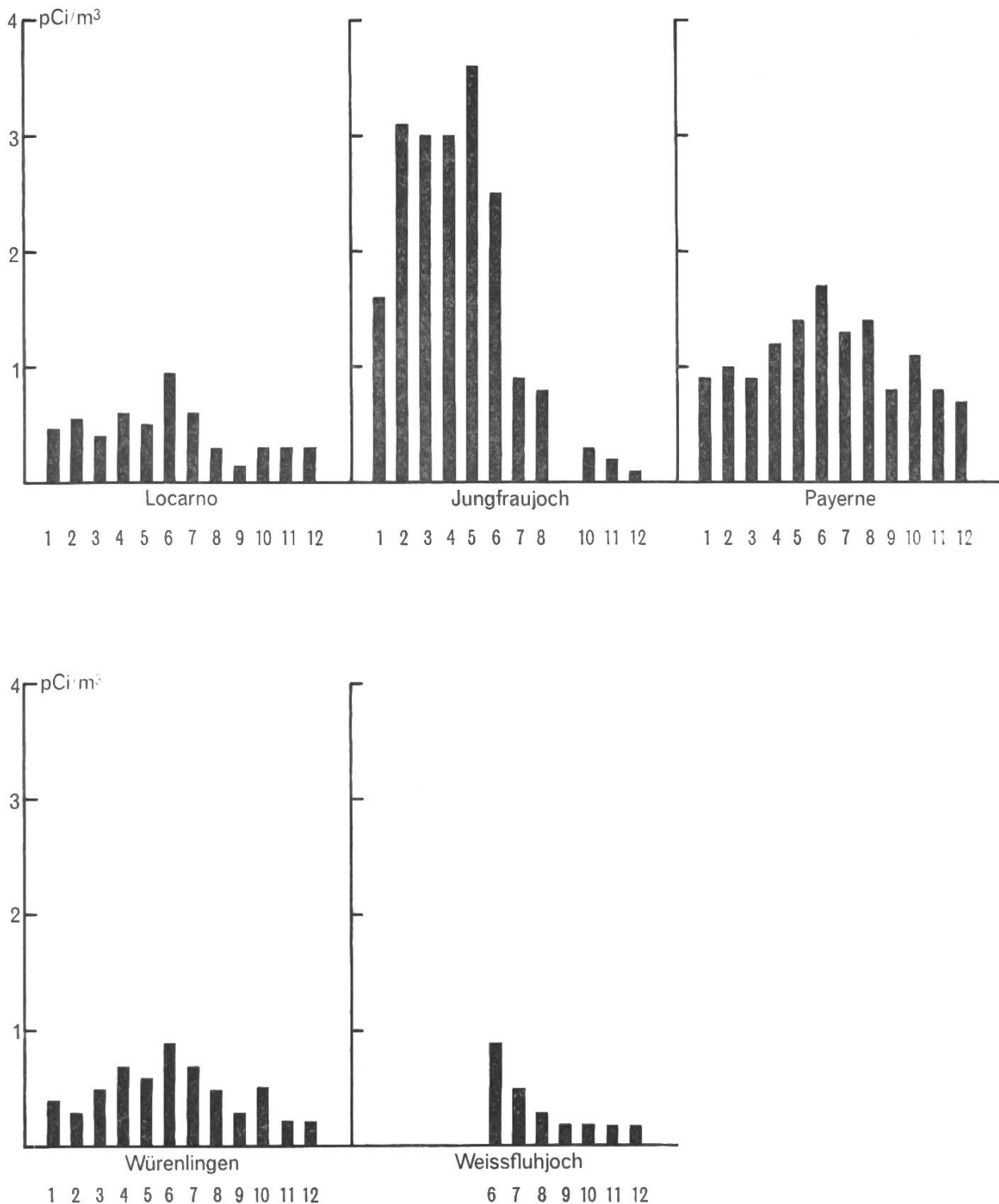


Fig. 1. Monatliche Mittelwerte der spezifischen Gesamt-Beta-Aktivität der Luft, bezogen auf 760 mm Hg und 0° C, für die Messstellen Jungfraujoch, Locarno, Payerne, Weissfluhjoch und Würenlingen.

Fig. 1. Moyennes mensuelles de l'activité spécifique bêta totale de l'air, à 760 mm Hg et 0° C, mesurées aux stations du Jungfraujoch, Locarno, Payerne, Weissfluhjoch et Würenlingen.

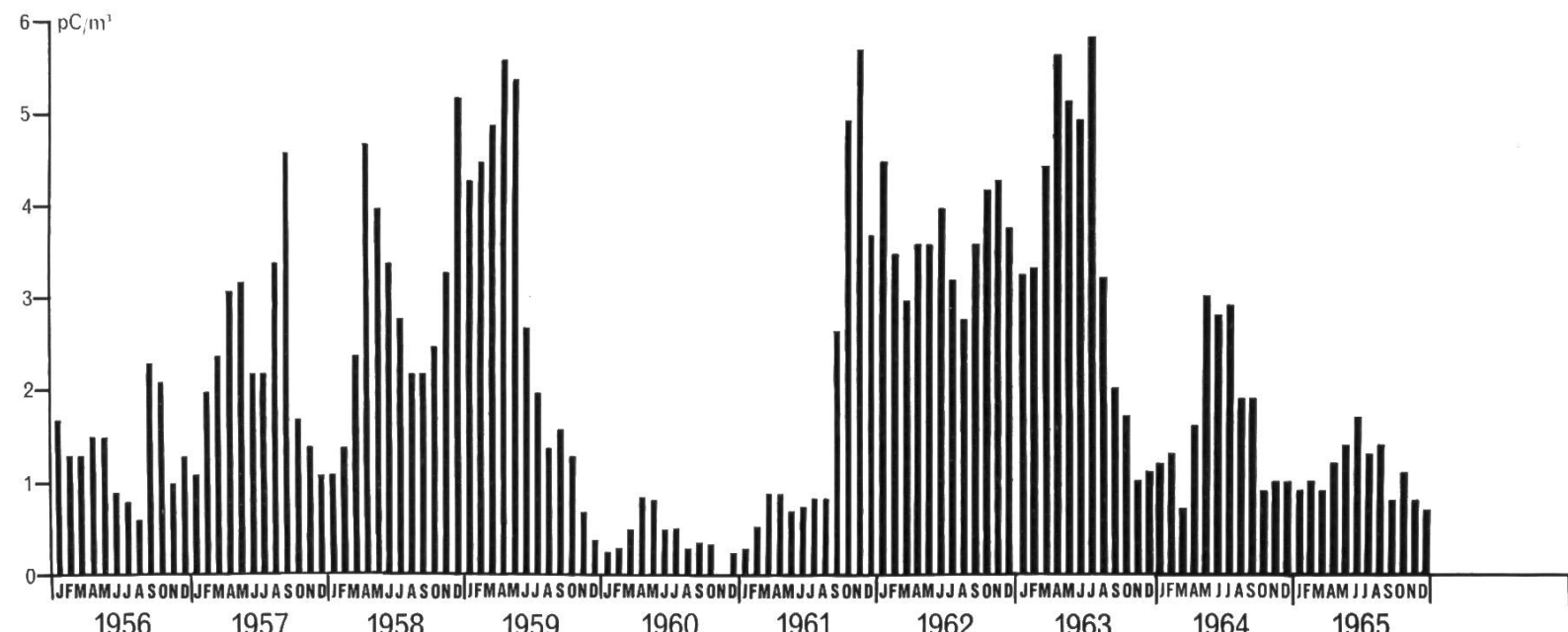


Fig. 2. Monatliche Mittelwerte der spezifischen Gesamt-Beta-Aktivität der Luft, bezogen auf 760 mm Hg und 0° C, für die Messstelle Payerne von 1956 bis 1965.

Fig. 2. Moyennes mensuelles de l'activité spécifique bêta totale de l'air, à 760 mm Hg et 0° C, mesurées à la station de Payerne de 1956 à 1965.

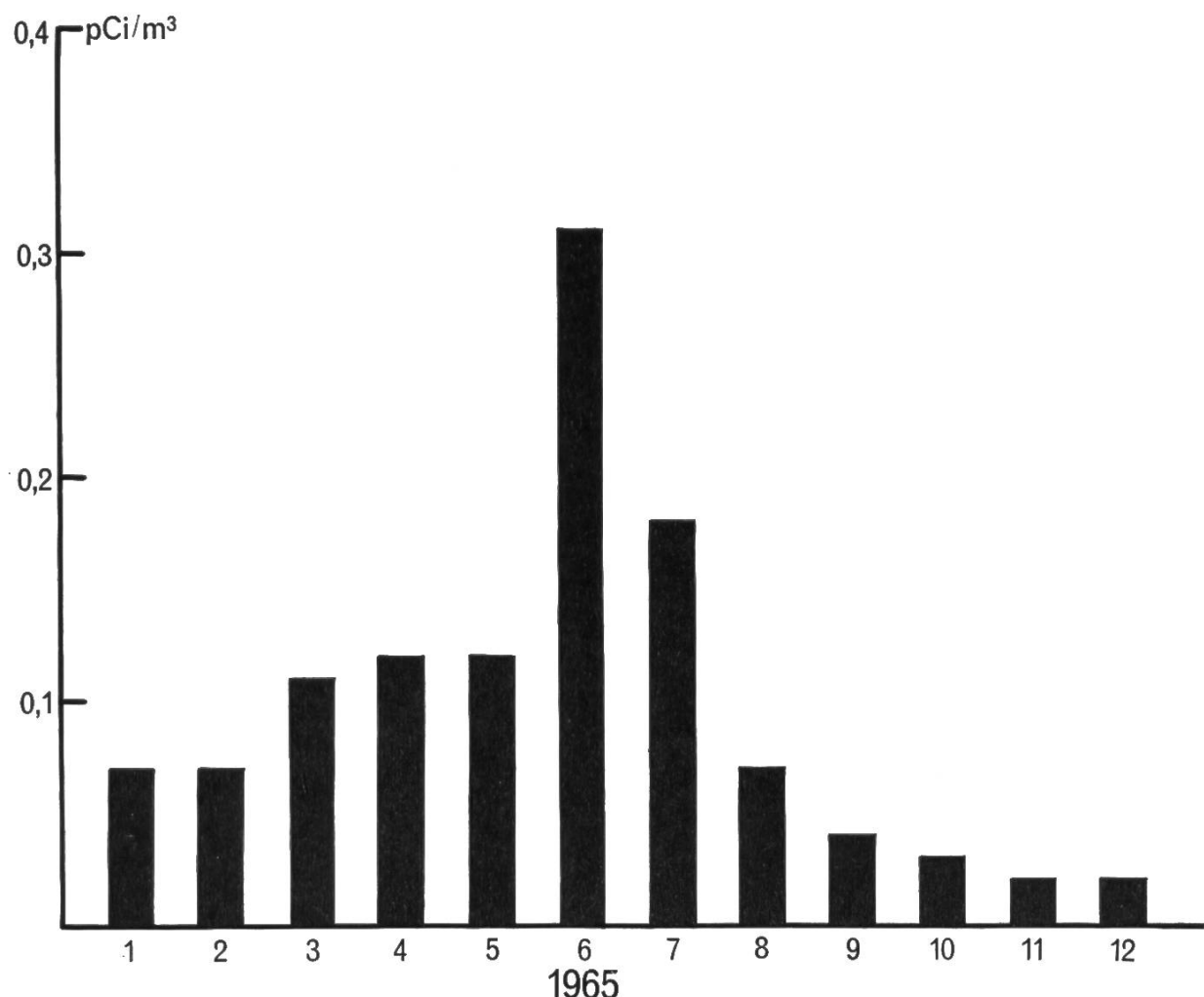


Fig. 3. Monatliche Mittelwerte der spezifischen Gesamt-Beta-Aktivität der Luft, bezogen auf 760 mm Hg und 0° C, für die Messstelle Freiburg.

Fig. 3. Moyennes mensuelles de l'activité spécifique bêta totale de l'air, à 760 mm Hg et 0° C, mesurées à la station de Fribourg.

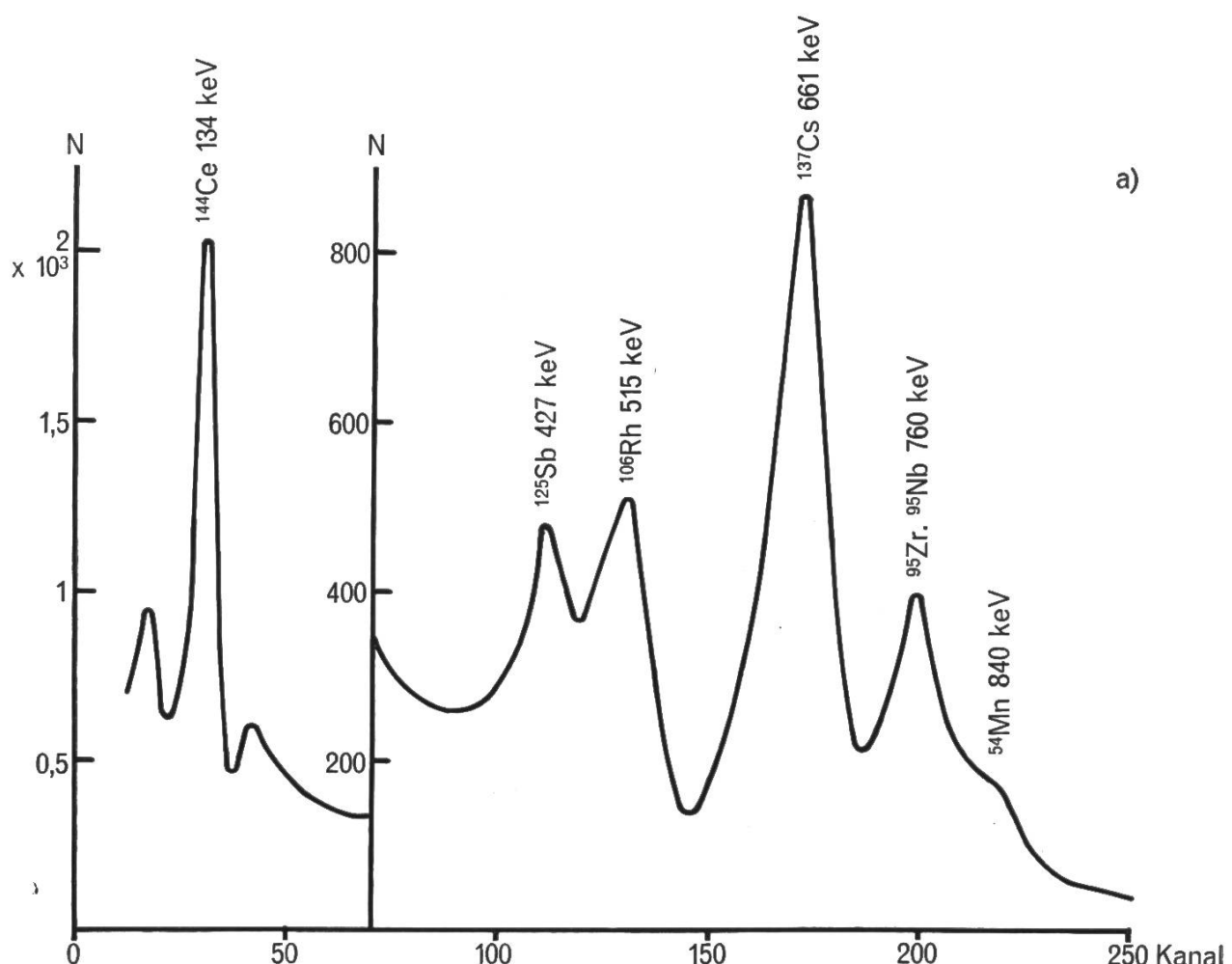


Fig. 4. a) Gamma-Spektrum des Luftfilters von Freiburg, gesammelt 11.–18.6.65, gemessen 22.12.65.

Fig. 4. a) Spectre gamma d'un filtre d'air; prélèvement: Fribourg 11.–18.6.65; mesure effectuée le 22.12.65.

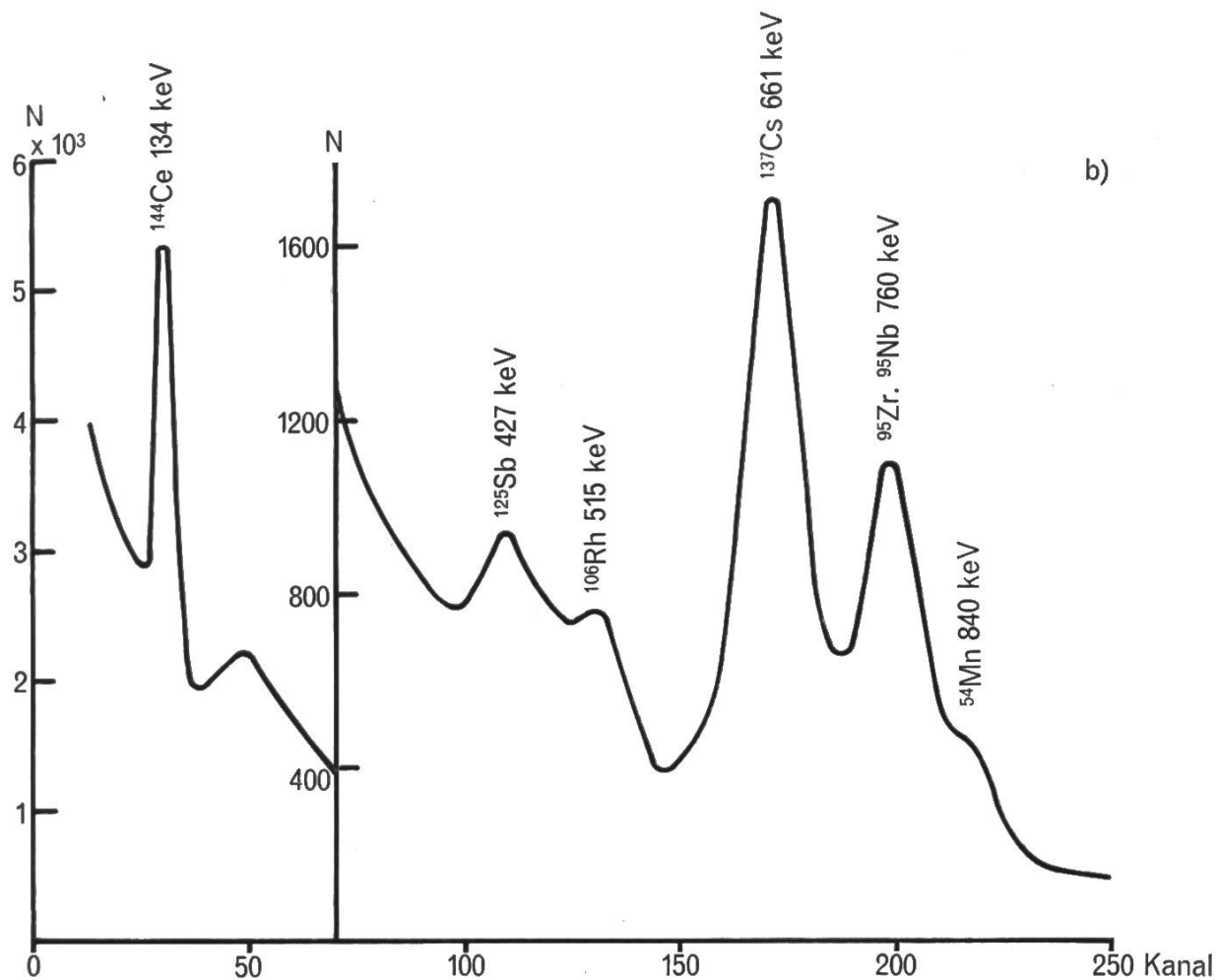


Fig. 4. b) Gamma-Spektrum von Gras aus der Ostschweiz, gesammelt 15.6.65, gemessen 22.12.65.

Fig. 4. b) Spectre gamma d'herbe de Suisse orientale, récoltée le 15.6.65, mesurée le 22.12.65.

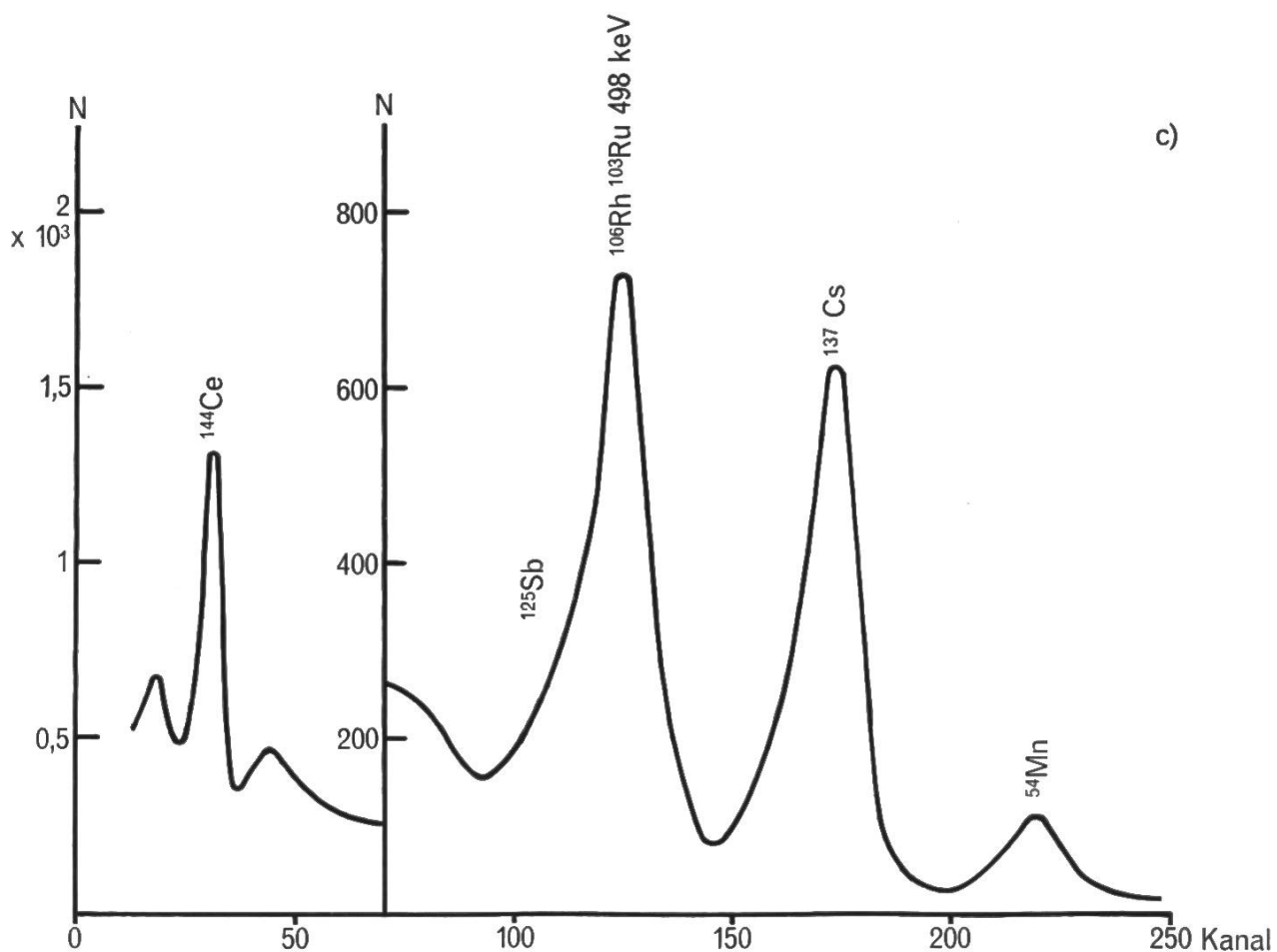


Fig. 4. c) Gamma-Spektrum der Luftfilter von Freiburg, Locarno, Romanshorn und Saignelégier, gesammelt 24.9.–8.10.65, gemessen 23.12.65.

Fig. 4. c) Spectre gamma des filtres d'air de Fribourg, Locarno, Romanshorn et Saignelégier; prélèvements: 24.9.–8.10.65; mesures effectuées le 23.12.65.

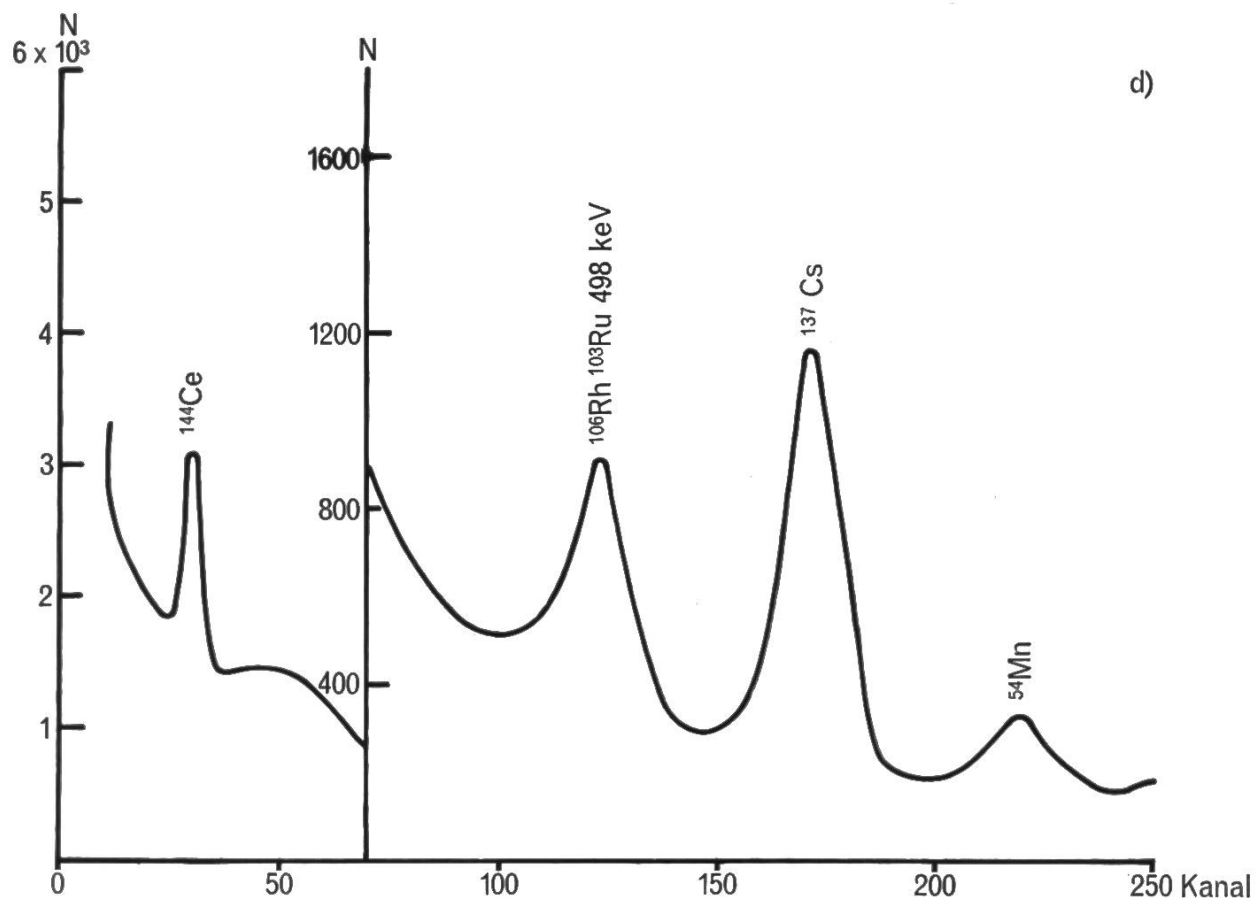


Fig. 4. d) Gamma-Spektrum von Gras aus Arenenberg, gesammelt 6.10.65, gemessen 20.12.65.

Fig. 4. d) Spectre gamma d'herbe d'Arenenberg, prélevé le 6.10.65, mesuré le 20.12.65.

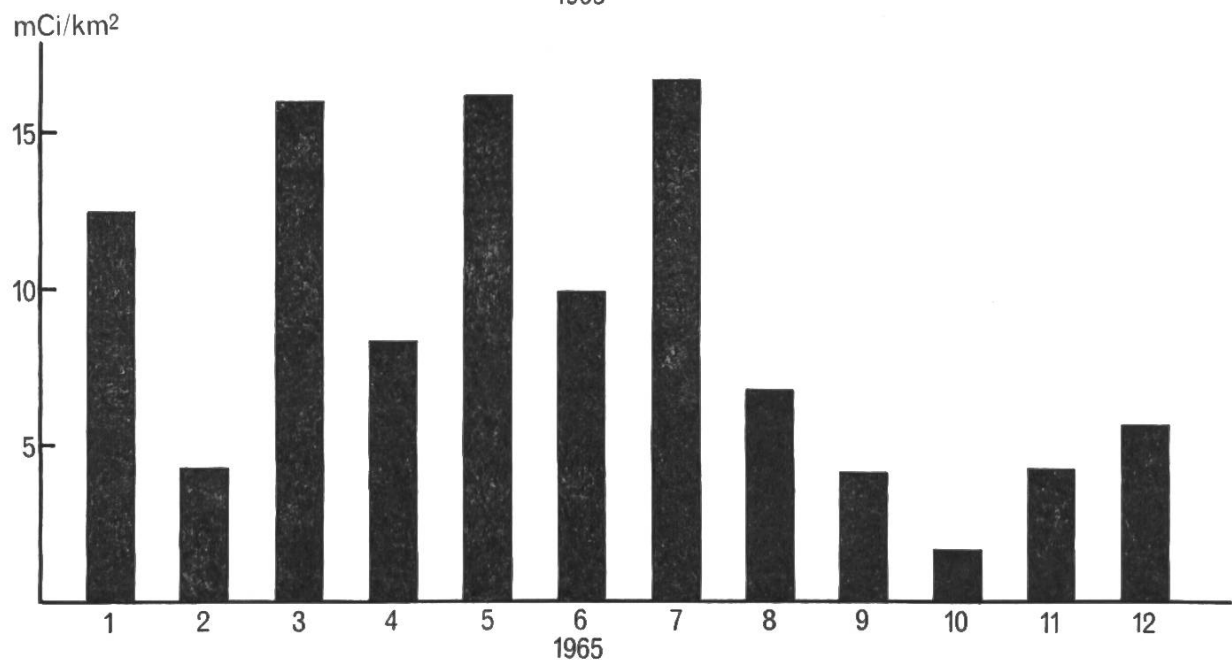
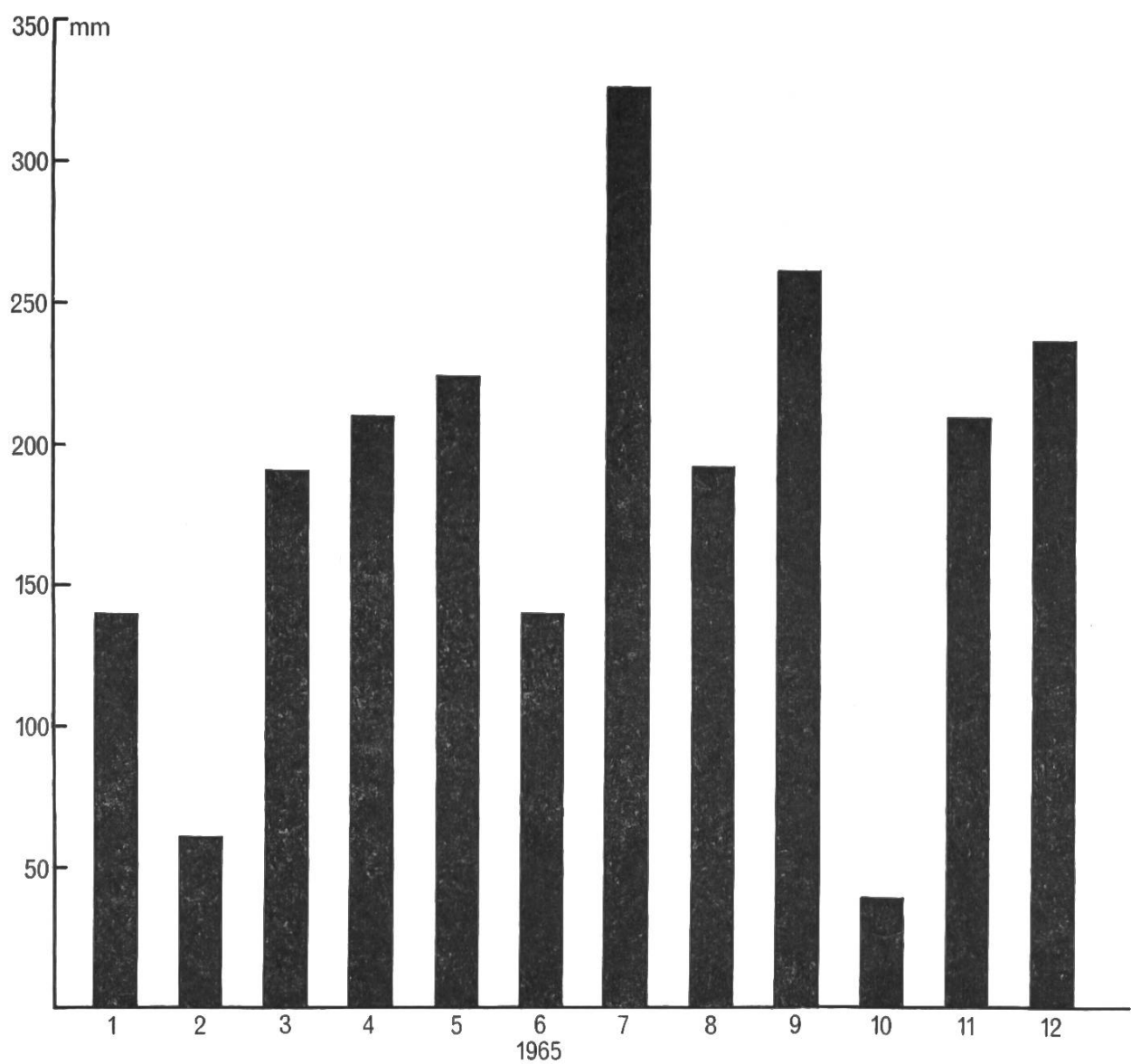


Fig. 5. Monatliche Niederschlagsmenge (oben) und monatliche, dem Erdboden durch Niederschlag zugeführte Gesamt-Beta-Aktivität pro km^2 Bodenfläche (unten) für die Messstelle Valsainte.

Fig. 5. Quantité mensuelle des précipitations (en haut) et activité bêta totale accumulée mensuellement par km^2 au sol par les précipitations (en bas) pour la station de La Valsainte.

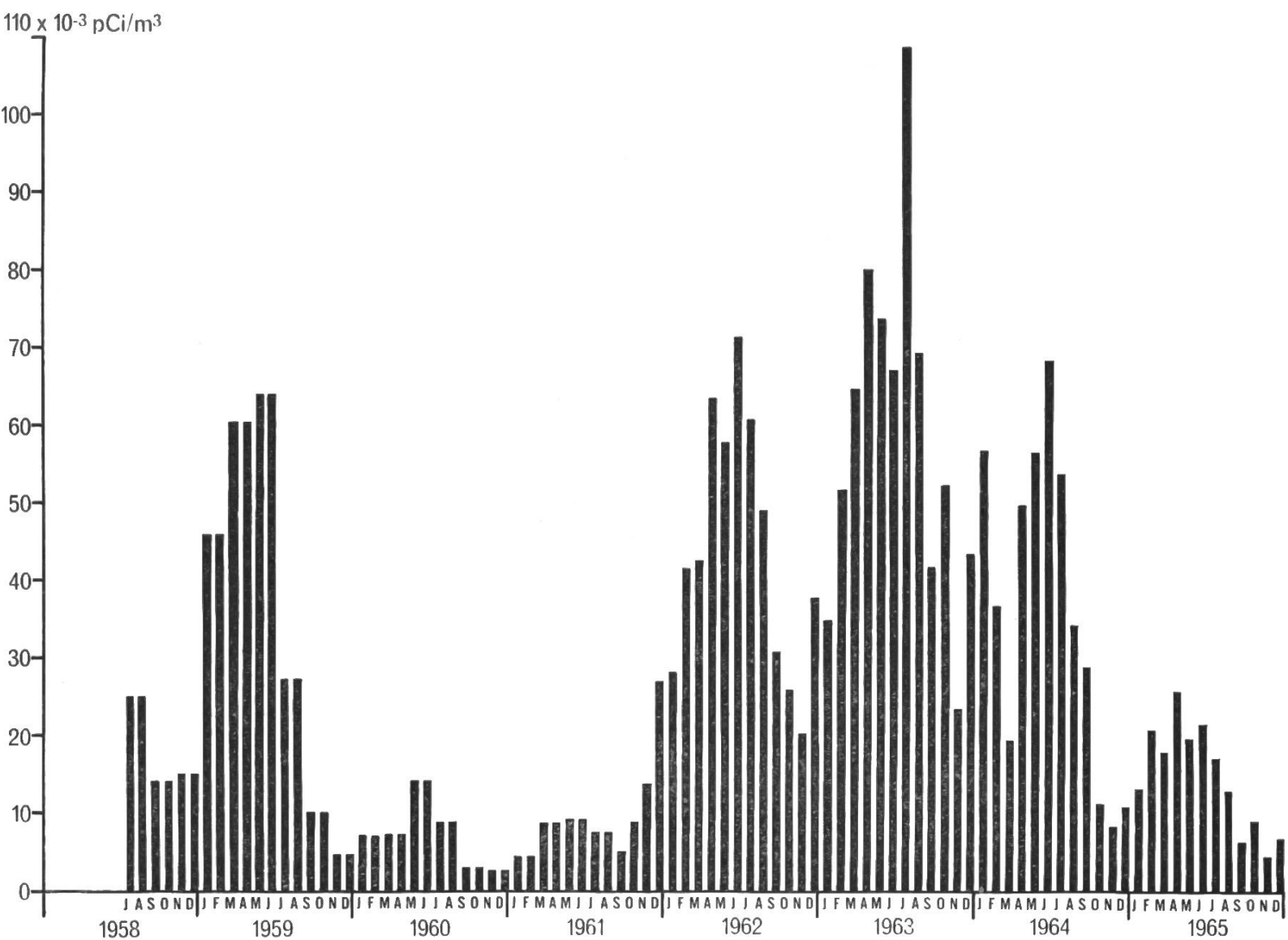


Fig. 6. Monatliche Mittelwerte der spezifischen Cs-137-Aktivität der Luft, bezogen auf 760 mm und 0° C, für die Messstelle Locarno von 1958 bis 1965.

Fig. 6. Moyennes mensuelles de l'activité spécifique du Cs-137 dans l'air, à 760 mm Hg et 0° C, collecté à Locarno de 1958 à 1965.

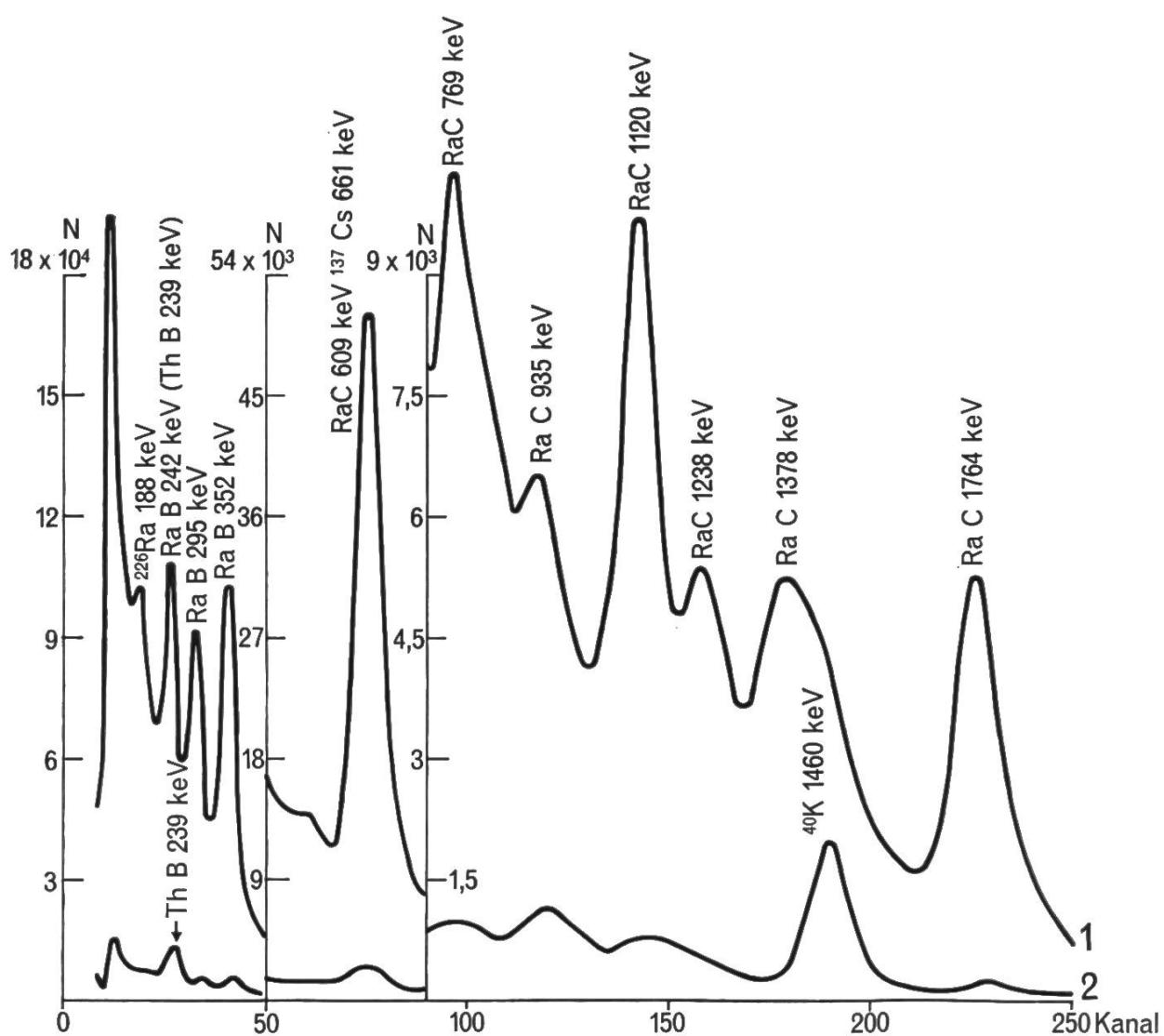


Fig. 7. Gamma-Spektren von Erdproben aus Teufen, 10 m von der Abfalldeponie der Leuchtfarbenfabrik Zeller, entnommen am 14.10.65.
Kurve 1: 0–5 cm Tiefe
Kurve 2: 50–75 cm Tiefe.

Fig. 7. Spectres gamma d'échantillons du sol de Teufen, à 10 m du lieu de dépôt des déchets de la fabrique de matières luminescentes Zeller, prélevés le 14.10.65.
Courbe 1: Profondeur 0–5 cm
Courbe 2: Profondeur 50–75 cm.

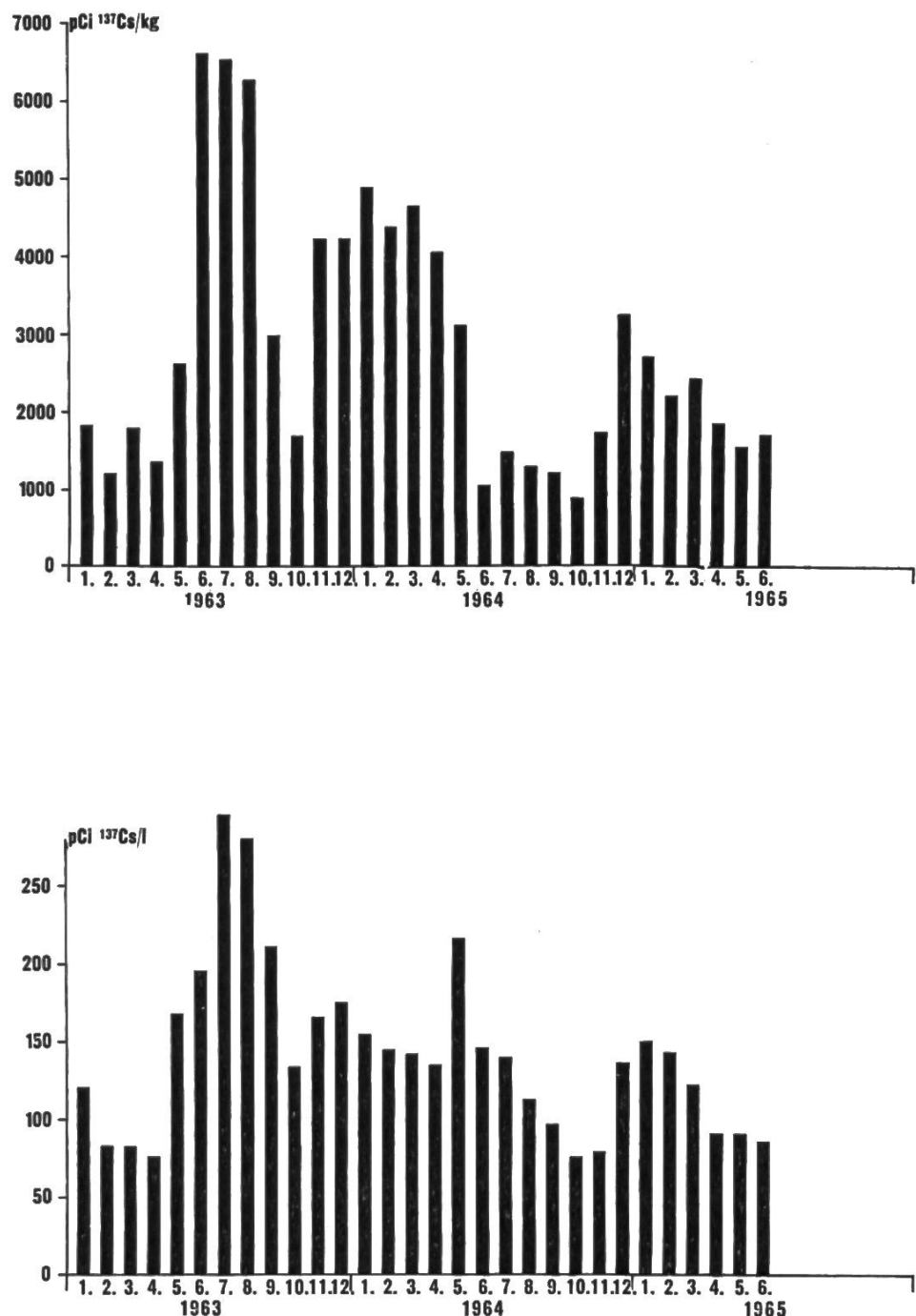


Fig. 8. Oben: Cs-137-Gehalt von Viehfutter (monatliche Probenahme), Ostschweiz 1963–1965.
Unten: Cs-137-Gehalt von Milch (monatliche Probenahme zwei Tage nach derjenigen des Futters), Ostschweiz 1963–1965.

Fig. 8. En haut: Teneur en Cs-137 du fourrage (prélèvement mensuel d'échantillons), Suisse orientale 1963–1965.
En bas: Teneur en Cs-137 dans le lait (prélèvement mensuel deux jours après celui du fourrage), Suisse orientale 1963 à 1965.

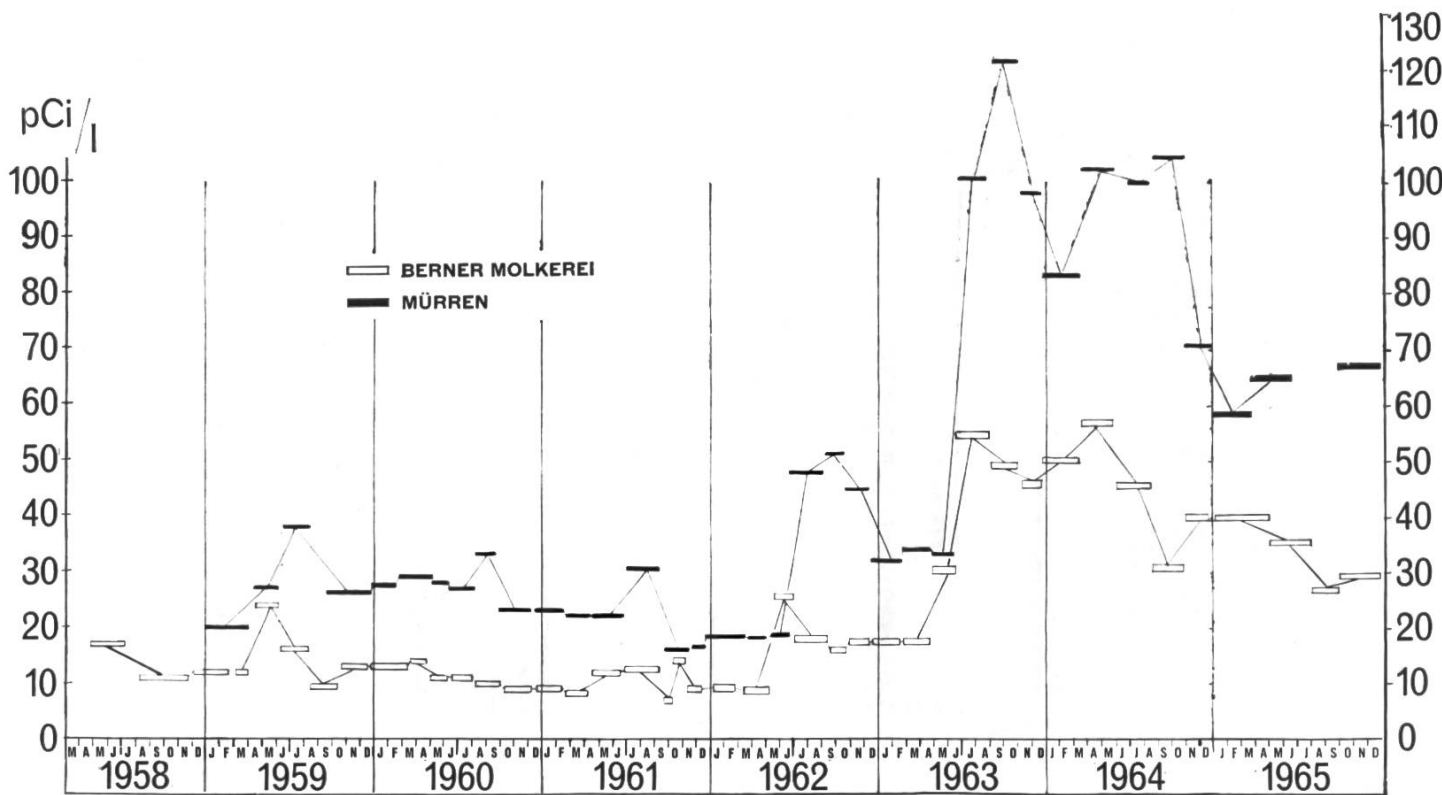


Fig. 9. Spezifische Strontium-90-Aktivität von Frischmilch aus dem Flachland (Bern 540 m) und aus einer Höhenlage (Mürren 1650 m).

Fig. 9. Activité spécifique du strontium-90 dans le lait frais de plaine (Berne 540 m) et de montagne (Mürren 1650 m).

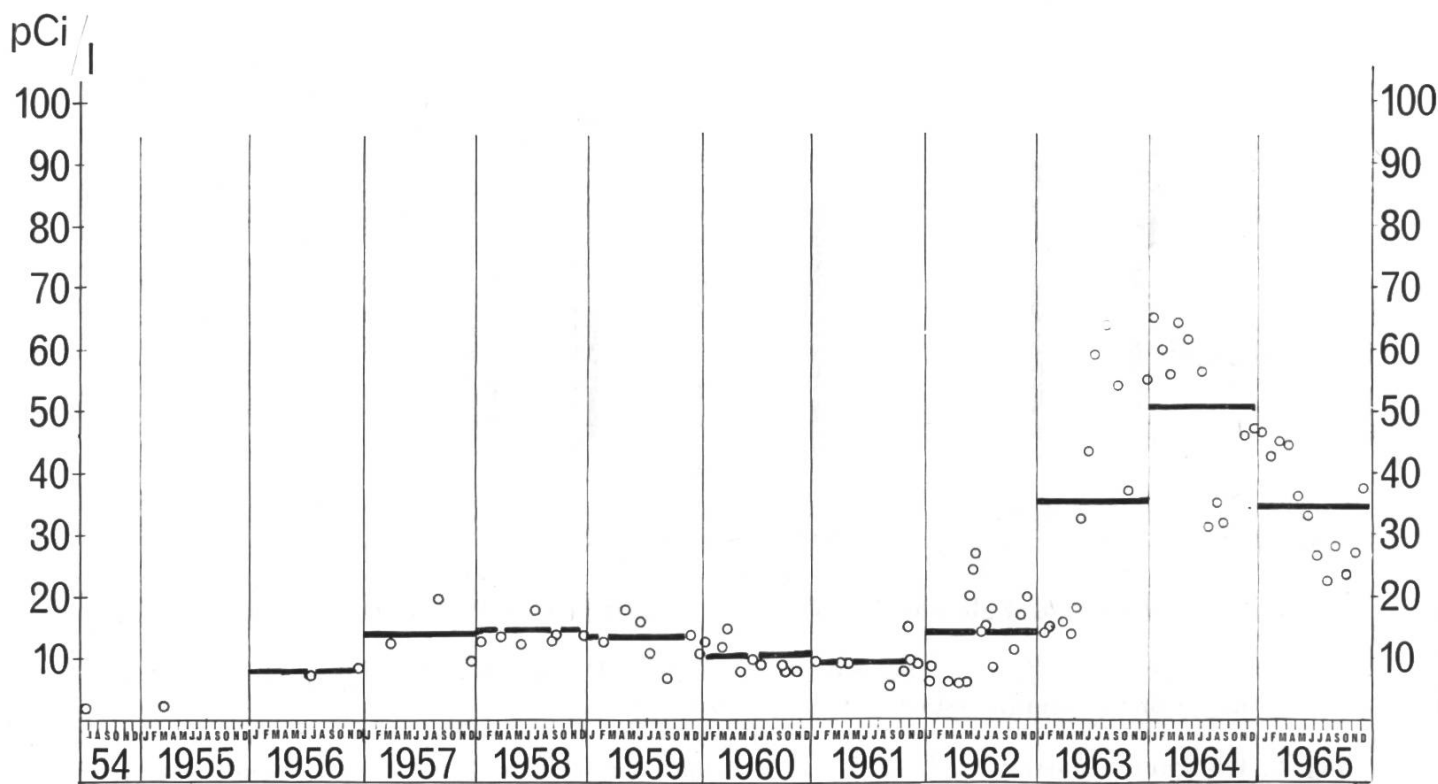
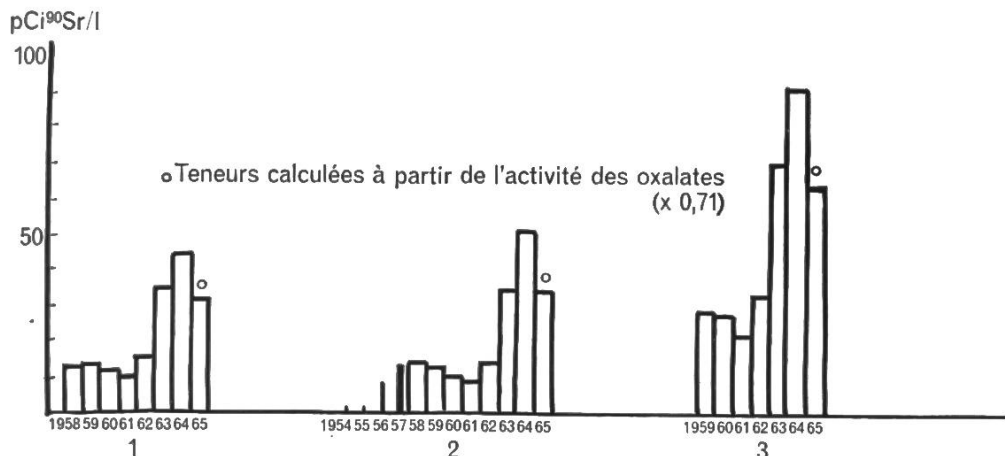


Fig. 10. Spezifische Strontium-90-Aktivität von Trockenmilch (Flachland) seit 1954 in Picocurie pro Liter Milch.

Fig. 10. Activité spécifique du strontium-90 dans le lait en poudre (plaine) depuis 1954, en picocurie par litre de lait.

a) Berner Molkerei, Kanton Waadt und Mürren
 Laiteries bernoises, canton de Vaud et Mürren



b) Andere Herkünfte - autres provenances

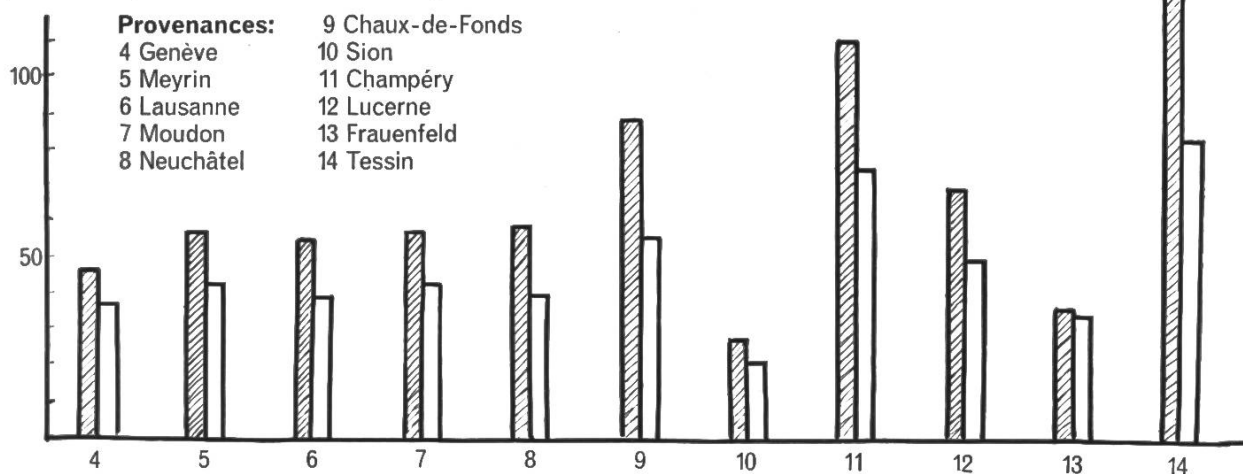


Fig. 11. a) Spezifische Strontium-90-Aktivität der Milch für die drei Probestellen Berner Molkerei, Kanton Waadt und Mürren.

b) Spezifische Strontium-90-Aktivität für die Jahre 1964 (schraffiert) und 1965 für elf weitere Probestellen.

Fig. 11. a) Teneur en strontium-90 du lait des trois provenances: Laiteries bernoises, canton de Vaud, Mürren.

b) Teneur en strontium-90 du lait de onze autres provenances, en 1964 (hachuré) et 1965.

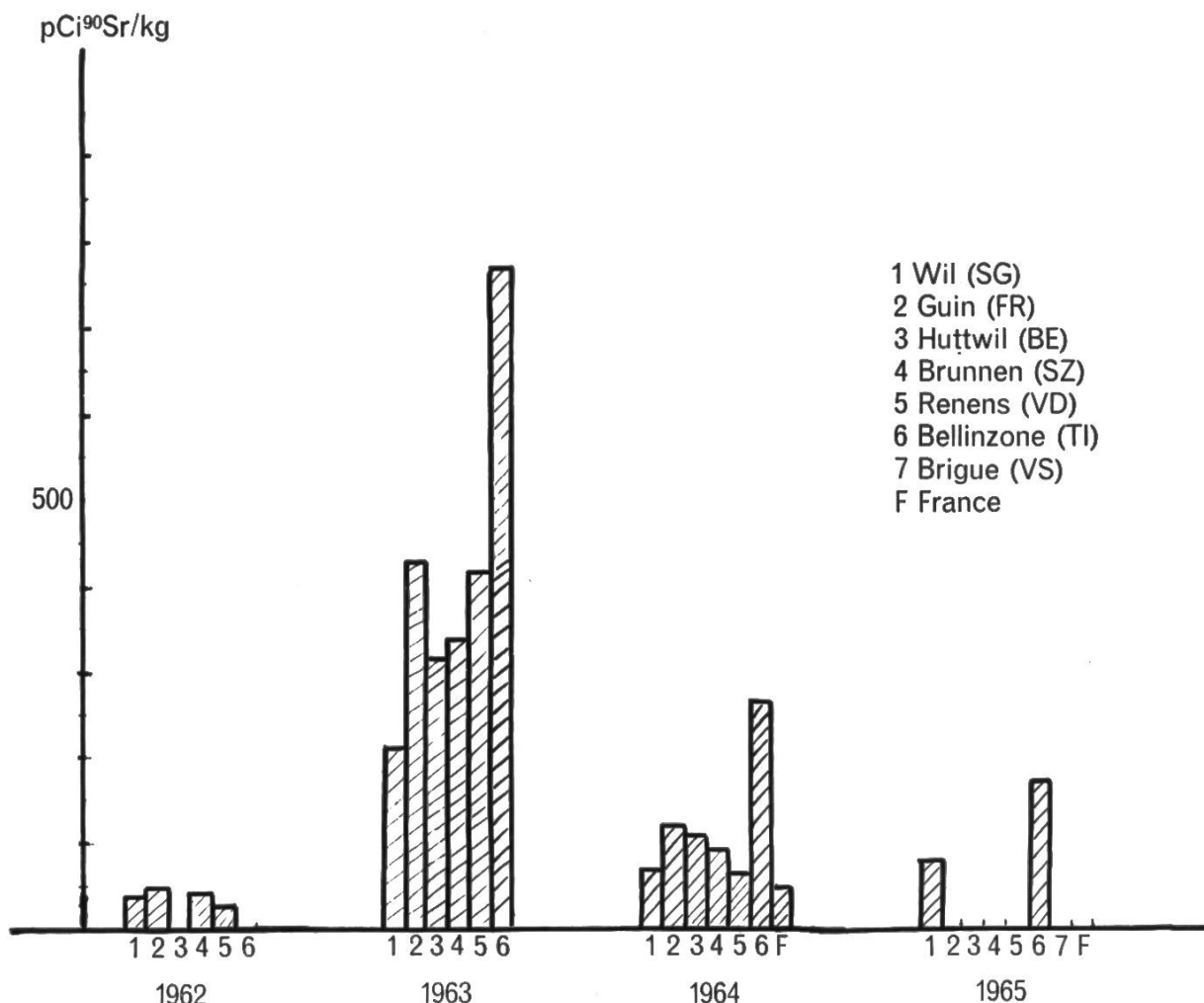


Fig. 12. Strontium-90-Gehalt von Weizen für die Jahre 1962–1965 für acht Herkunftsstellen: Wil (SG), Düdingen (FR), Huttwil (BE), Brunnen (SZ), Renens (VD), Bellinzona (TI), Brig (VS), France (F).

Fig. 12. Teneur en strontium-90 du froment de huit provenances: Wil (SG), Guin (FR), Huttwil (BE), Brunnen (SZ), Renens (VD), Bellinzona (TI), Brig (VS), France (F), les années 1962–1965.

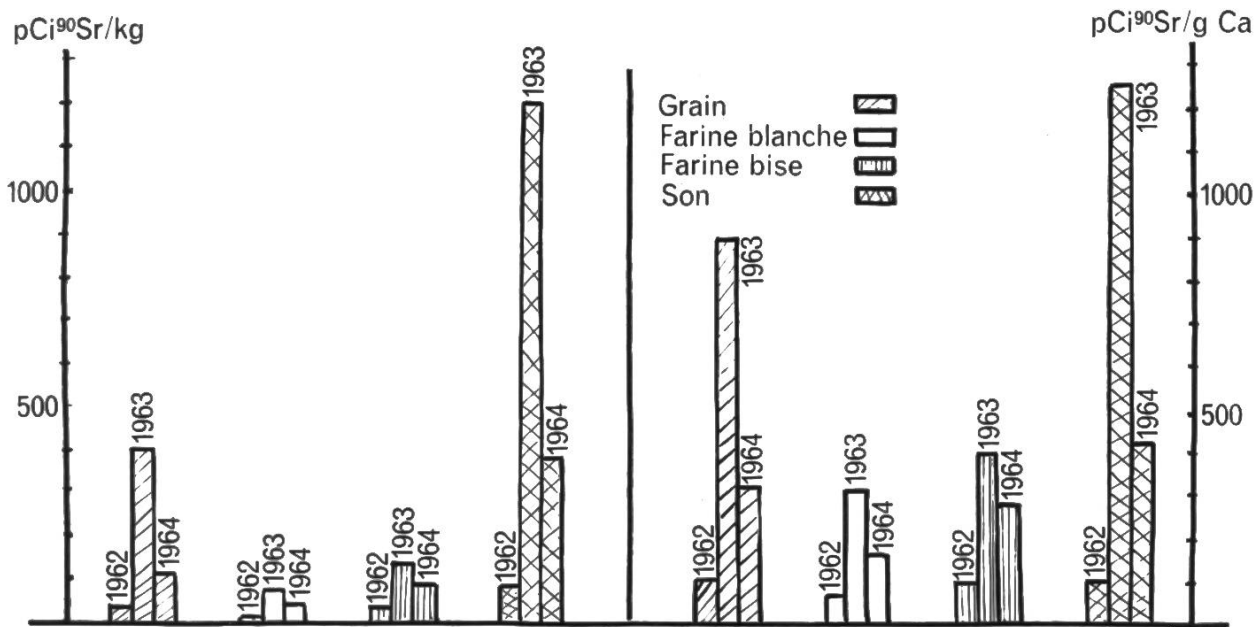


Fig. 13. Strontium-90-Aktivität von Weizen und Weizen-Mahlprodukten für sechs Herkunftsstellen.

Fig. 13. Teneur en strontium-90 du froment et de ses produits de mouture de six provenances.

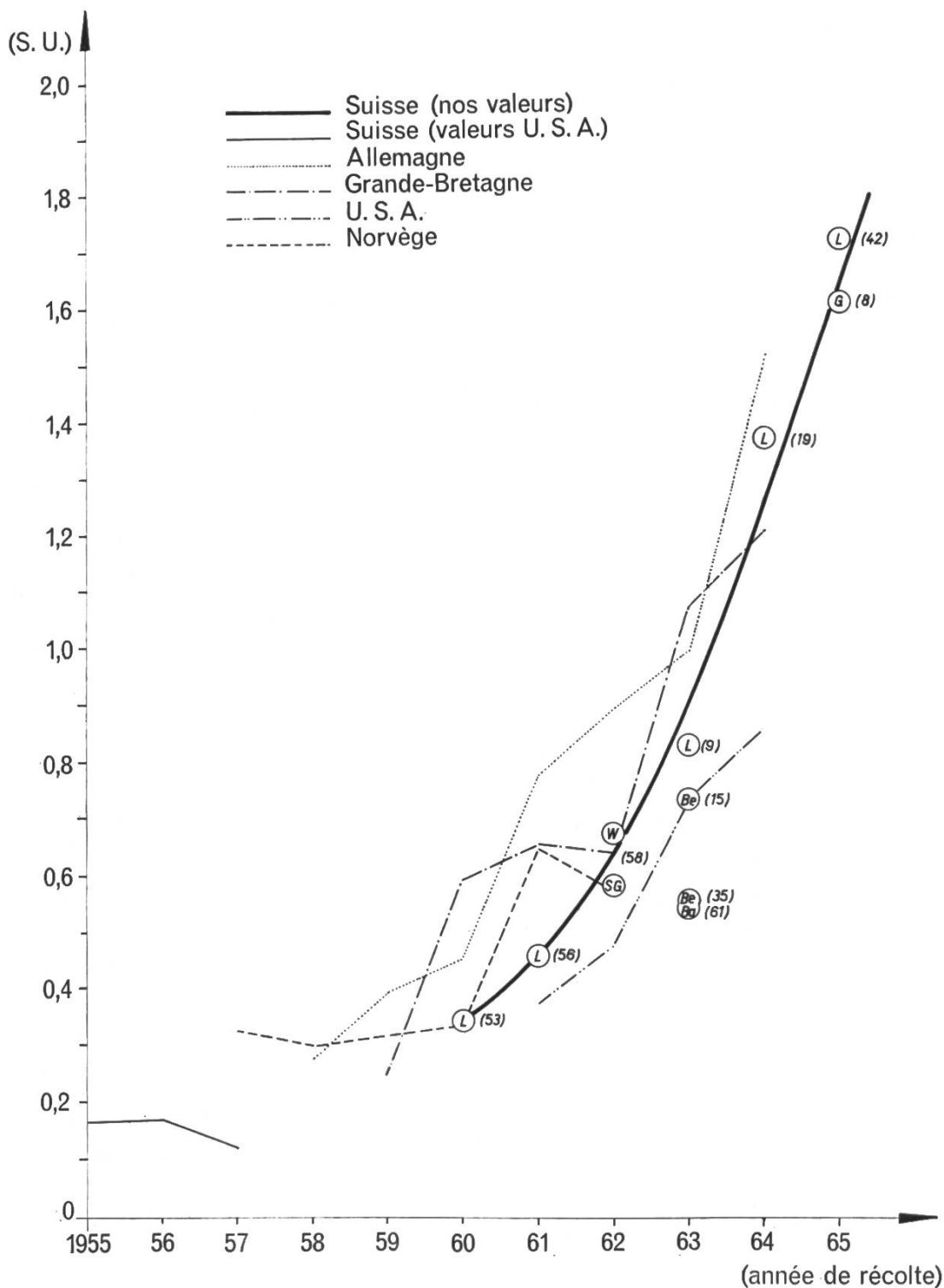


Fig. 14. Strontium-90-Analyse von Knochen Erwachsener für die Jahre 1955–65, angegeben in Strontium-Einheiten (S.E.), dazu Vergleichswerte aus Deutschland, England, Amerika und Norwegen. L = Lausanne, B = Basel, SG = St. Gallen, W = Winterthur, BE = Berne, G = Genève.

Fig. 14. Analyses du strontium-90 dans les os d'adultes pour les années 1955 à 1965, en unités strontium (s.u.), comparées aux valeurs d'Allemagne, d'Angleterre, d'Amérique et de Norvège. L = Lausanne, B = Bâle, SG = St-Gall, W = Winterthour, BE = Berne, G = Genève.